## СЕКЦИЯ VIII ФИЗИЧЕСКИЕ И МАТЕМАТИЧЕСКИЕ МЕТОДЫ ИССЛЕДОВАНИЯ СЛОЖНЫХ СИСТЕМ

# АНАЛИТИЧЕСКИЙ СПОСОБ ОПРЕДЕЛЕНИЯ ОСОБЫХ ТОЧЕК ПРИ ИССЛЕДОВАНИИ ПЛОСКИХ РЫЧАЖНЫХ МЕХАНИЗМОВ СЛОЖНОЙ СТРУКТУРЫ

#### А. В. Котов

ОАО «Сейсмотехника», г. Гомель, Республика Беларусь Научный руководитель Д. Г. Кроль

Представлен аналитический способ определения положения особых точек плоских рычажных механизмов с группой Ассура III класса. Знание координат этих точек позволяет применить классические методы исследования механизмов II класса для определения кинематических и силовых характеристик.

**Ключевые слова:** рычажный механизм, особая точка Ассура, кинематический анализ, вектор.

Метод особых точек является одним из основных методов кинематического исследования рычажных механизмов с группой Ассура III класса. Данный метод основан на том, что в каждой группе Ассура III класса существуют особые точки, которые принадлежат базисному звену группы и находятся как точка пересечений линий двух любых поводков группы Ассура III класса [1, 2]. Особые точки нашли широкое применение при графоаналитическом методе исследования данных механизмов благодаря своей простоте и наглядности. Относительно невысокая точность и необходимость использования графического построения каждый раз для нового положения рычажного механизма существенно увеличивает трудозатраты при выполнении кинематического и силового анализа механизма и ограничивают применение данного метода на практике. В последнее время в связи с широким внедрением математических пакетов и языков программирования произошел заметный скачок в применении аналитических методов исследования плоских рычажных механизмов сложной структуры [3, 4]. Однако метод особых точек не нашел своей аналитической реализации и остается актуальной научной и инженерной задачей.

Цель исследования – определение аналитическим способом координат особых точек группы Ассура III класса.

Рассмотрим плоский рычажный механизм с группой Ассура III класса, кинематическая схема которого приведена на рис. 1. Данный механизм состоит из начального механизма I (0,1) и структурной группы Ассура III (2-5). На рис. 1 показана графическая интерпретация определения положения особых точек базисного звена 3 группы Ассура III класса, которые находятся на пересечении продолжений линий двух его любых поводков:  $S_1$  (на пересечении звеньев AB и FC),  $S_2$  (на пересечении звеньев FC и ED) и  $S_3$  (на пересечении звеньев ED и AB).

Будем считать, что для данного механизма выполнена 1-я задача кинематического анализа: известны координаты всех характерных точек рассматриваемого рычажного механизма. Определим аналитически параметры векторов трех рассматриваемых особых точек

Для аналитического определения особых точек будут использоваться теоретические сведения из векторной алгебры и аналитической геометрии [5]. Пусть в рассматриваемой декартовой системе координат имеем два непараллельных друг другу вектора AB и CD (для упрощения записи верхний значок вектора « $\rightarrow$ » при описании в тексте символьных обозначений будет опущен), начало и конец которых заданы двумя радиус-векторами (соответственно  $r_A$ ,  $r_B$  и  $r_C$ ,  $r_D$ , рис. 2). Требуется найти радиус-вектор  $r_S$ , характеризующий положение точки  $r_S$ . В общем случае данная точка может находиться на продолжении векторов  $r_S$ 0 (рис. 2,  $r_S$ 0) или лежать на их пересечении (рис. 2,  $r_S$ 0).

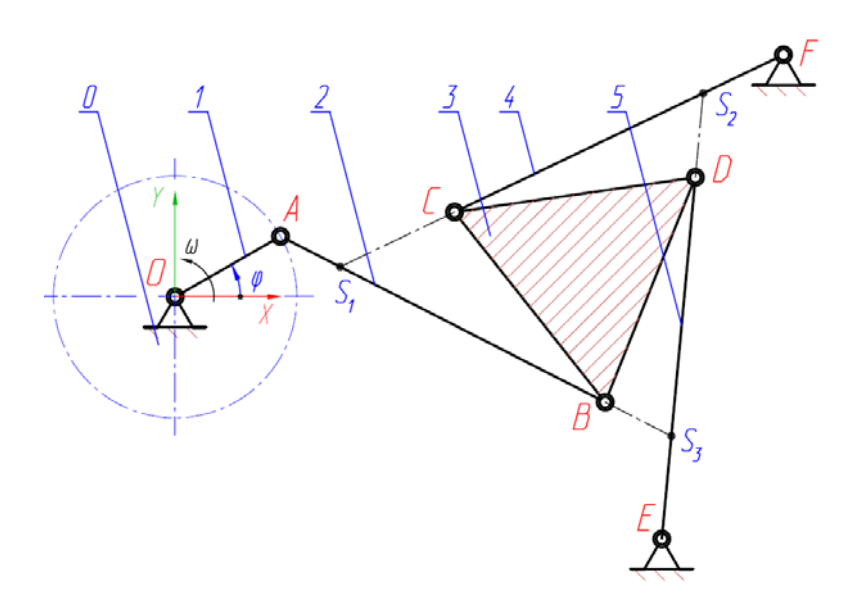
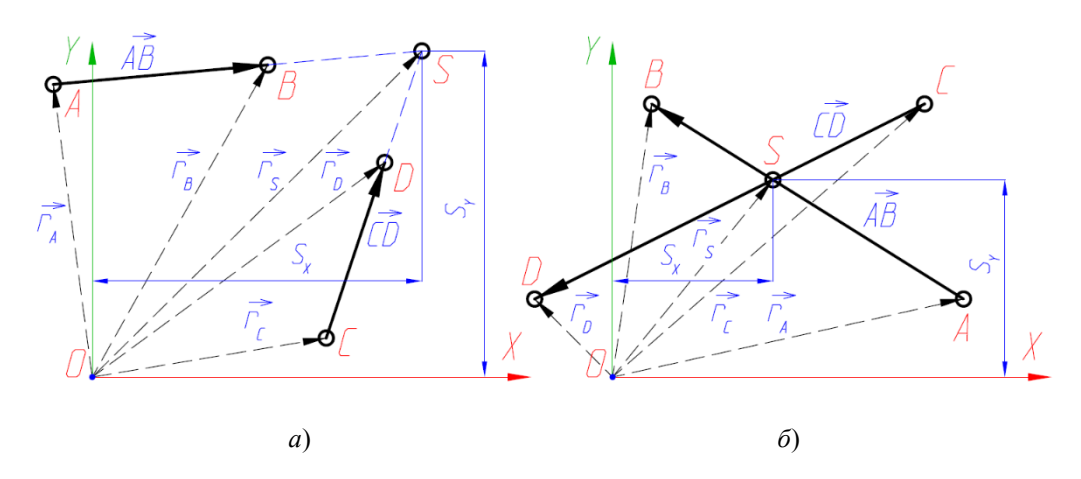


Рис. 1. Схема определения положения особых точек базисного звена



*Рис. 2.* Графическое пояснение к нахождению радиус-вектора точки пресечения двух векторов: a – на продолжении векторов; б – на пересечении векторов

Из аналитической геометрии известно уравнение прямой, проходящей через две точки [5], используя которое и ряд математических преобразований можно найти на плоскости точку пересечения двух непараллельных прямых. Указанное уравнение

можно представить в более компактной форме, применив известные правила векторного и скалярного произведения, получив выражение для нахождения радиусвектора точки пересечения двух векторов, каждый из которых задан двумя радиусвекторами. Приведем здесь итоговую формулу для определения радиус-вектора точки S пересечения двух векторов (рис. 2):

$$\vec{r}_{S} = \frac{(\vec{r}_{B} - \vec{r}_{A})((\vec{r}_{D} \times \vec{r}_{C})\vec{e}_{Z}) - (\vec{r}_{D} - \vec{r}_{C})((\vec{r}_{B} \times \vec{r}_{A})\vec{e}_{Z})}{(\vec{r}_{D} - \vec{r}_{C}) \times (\vec{r}_{B} - \vec{r}_{A})\vec{e}_{Z}},$$
(1)

где  $r_A$ ,  $r_B$ ,  $r_C$  и  $r_D$  — соответственно радиус-векторы точек первого и второго вектора;  $e_Z$  — единичный вектор (орт) для неподвижной оси Z принятой декартовой системы координат.

Выражение (1) является универсальным и может применяться для нахождения радиус-вектора  $r_S$  точки пересечения двух векторов, лежащей как на их продолжении (рис. 2, a), так и на их пересечении (рис. 2,  $\delta$ ).

Приведем здесь результаты аналитического способа определения особых точек для рассматриваемого рычажного механизма (рис. 1) со следующими входными параметрами (размерность всех величин здесь и далее указана в миллиметрах):

$$L_{OA} = 100; \ L_{AB} = 300; \ L_{BD} = 200; \ L_{DE} = 300; \ L_{BC} = 200; \ L_{CF} = 300; \ L_{CD} = 200;$$
  $x_F = 500; \ y_F = 200; \ x_E = 400; \ y_E = -200; \ \phi = 30^\circ.$ 

Из решения 1-й задачи кинематики находим следующие векторы характерных точек структурной группы Ассура III класса (представлены в транспонированном виде):

$$\vec{A}(30^{\circ}) = (86,60 \quad 50 \quad 0)^{T}; \ \vec{B}(30^{\circ}) = (353,47 \quad -80,04 \quad 0)^{T}; \ \vec{E} = (400 \quad -200 \quad 0)^{T};$$

$$\vec{D}(30^{\circ}) = (427,55 \quad 98,73 \quad 0)^{T}; \ \vec{F} = (500 \quad 200 \quad 0)^{T}; \ \vec{C}(30^{\circ}) = (229,62 \quad 70,00 \quad 0)^{T}.$$

Тогда радиус-векторы особых точек, рассчитанные с помощью выражения (1), имеют следующие значения:

$$\vec{S}_1(30^\circ) = (135,65 \ 24,81 \ 0)^T; \ \vec{S}_2(30^\circ) = (433,97 \ 168,25 \ 0)^T;$$
  
$$\vec{S}_3(30^\circ) = (407,84 \ -114,96 \ 0)^T.$$

Был выполнен сравнительный анализ определения особых точек представленным аналитическим способом и для классического метода [1], используя графические построения в среде КОМПАС-3D. Полученные результаты практически полностью совпадают, а полученная погрешность находится в пределах погрешности графического построения.

Представленный аналитический способ определения радиус-векторов особых точек рычажного механизма с группой Ассура III класса может быть алгоритмизирован в любом математическом пакете. Например, для математического пакета

MathCAD, выражение (1) можно представить в виде следующей пользовательской функции *Cross*:

$$Cross(\vec{r}_{A}, \vec{r}_{B}, \vec{r}_{C}, \vec{r}_{D}) = \frac{(\vec{r}_{B} - \vec{r}_{A})((\vec{r}_{D} \times \vec{r}_{C})\vec{e}_{Z}) - (\vec{r}_{D} - \vec{r}_{C})((\vec{r}_{B} \times \vec{r}_{A})\vec{e}_{Z})}{(\vec{r}_{D} - \vec{r}_{C}) \times (\vec{r}_{B} - \vec{r}_{A})\vec{e}_{Z}}.$$
(2)

Для данной функции входными параметрами будут являться радиус-векторы точек шарниров двух звеньев рычажного механизма, а выходным — рассчитанный радиус-вектор особой точки. Используя трижды указанную функцию (2), находим положение радиус-векторов трех особых точек для рассматриваемого рычажного механизма:

$$\vec{S}_{1}(\varphi) = Cross(\vec{A}(\varphi), \vec{B}(\varphi), \vec{F}, \vec{C}(\varphi)); \quad \vec{S}_{2}(\varphi) = Cross(\vec{E}, \vec{D}(\varphi), \vec{F}, \vec{C}(\varphi));$$
$$\vec{S}_{3}(\varphi) = Cross(\vec{A}(\varphi), \vec{B}(\varphi), \vec{E}, \vec{D}(\varphi)).$$

Предложенный аналитический способ позволяет доступно и наглядно определять положение особых точек группы Ассура III класса. Данный способ легко поддается формализации и алгоритмизации с применением математических пакетов (MathCAD, Maple, Mathematica и др.) и может найти свое применение для решения 2-й и 3-й задачи кинематического, а также динамического анализа механизма.

#### Литература

- 1. Артоболевский, И. И. Теория механизма и машин : учебник / И. И. Артоболевский. 4-е изд., перераб. и доп. / Репринтное воспроизведение издания 1988 г. М. : Транспорт. компания, 2023. 640 с.
- 2. Кошель, С. А. Определение ускорений точек сложных плоских механизмов графоаналитическим способом / С. А. Кошель, А. В. Кошель // Вестник Витебского государственного технологического университета. 2015. № 2 (29). С. 55–62.
- 3. Кіницький, Я. Т. Аналітичне дослідження кінематики механізмів III класу з використанням системи MathCAD / Я. Т. Кіницький, М. В. Марченко, В. О. Харжевський // Вісник Хмельницького національного університету. Технічні науки. 2013. № 6 (207). С. 7–10.
- 4. Мацюк, И. Н. Кинематический анализ плоских рычажных механизмов высоких классов в программе MathCAD / И. Н. Мацюк, В. М. Третьяков, Э. М. Шляхов // Теория механизмов и машин. -2012. -T. 10, № 1 (19). -C. 65–70.
- 5. Корн, Г. А. Справочник по математике для научных работников и инженеров: Определения. Теоремы. Формулы / Г. Корн, Т. Корн ; [пер. И. Г. Арамановича (ред. пер.) и др.]. 6-е изд., стер. СПб. [и др.] : Лань, 2003. 831 с.

### ИССЛЕДОВАНИЕ ПРИМЕНЕНИЯ СИСТЕМ АВТОМАТИЗИРОВАННОГО ПРОЕКТИРОВАНИЯ ДЛЯ РАСЧЕТА И ПОСТРОЕНИЯ КОНИЧЕСКИХ ЗУБЧАТЫХ КОЛЕС

#### А. Р. Рахматулаев

Учреждение образования «Гомельский государственный технический университет имени П. О. Сухого», Республика Беларусь

Научный руководитель С. И. Прач

Системы автоматизированного проектирования (САПР) — это незаменимый инструмент в различных областях науки, техники и образования, предназначенный для создания, редактирования, анализа и оптимизации проектов. Системы AutoCAD, Bricscad, Autodesk Inventor, SolidWorks, SolidEdge, Komnac-3D, T-FLEX, PTC Creo, NX и другие пользуются осо-